



تغییرات ریختی و اعتبارسنجی آرایه‌شناختی صفات مرتبط با خارهای آبششی در

شگ‌ماهی دریایی خزری (Clupeidae: *Alosa braschnikowi*)

محمد صادق علوی یگانه^{*}، سمیه رضوی

گروه زیست‌شناسی دریا، دانشکده علوم دریایی، دانشگاه تربیت مدرس، مازندران، نور

نوع مقاله:

چکیده

مقاله کوتاه

تاریخچه مقاله:

۹۴/۰۳/۱۷

دریافت:

۹۴/۰۹/۱۹

اصلاح:

۹۴/۰۹/۲۷

پذیرش:

۹۴/۰۹/۲۷

کلمات کلیدی:

آرایه شناسی

خار آبششی

زلالون

مقدمه

شگ‌ماهی دریایی خزری (*Alosa braschnikowi*) یکی از گونه‌های بوم زاد دریایی خزر بوده که تمام عمر خود را در دریا سپری می‌کند و برای تخم‌ریزی وارد رودخانه‌ها نمی‌شود (Svetovidov, 1963). این گونه در سرتاسر دریای خزر پراکنش داشته و از انواع ماهیان کوچک به ویژه کیلکا، سخت پوستان، حشرات، نرم تنان و میگوها تغذیه می‌کند (Whitehead, 1985). گونه دریایی خزری نسبت به سایر گونه‌های متعلق به جنس *Alosa* در جنوب دریای خزر یعنی شگ‌ماهی خزری *A. caspia* شگ‌ماهی مهاجر و شگ‌ماهی چشم درشت *A. saposchnikowii* از رشد بیشتری برخوردار بوده و نمونه‌های صید شده از این گونه عموماً از جثه بزرگتری نسبت به سایر گونه‌های جنس *Alosa* برخوردار می‌باشند و در نتیجه این گونه دارای اهمیت اقتصادی بیشتری است (Ghotbi-Jokandan et al., 2015). از جمله خصوصیات بارز ریختی این گونه در کلیدهای شناسایی عموماً به موارد زیر اشاره می‌شود: دارای بدن نسبتاً طویل و کشیده هستند، خارهای آبششی این گونه ضخیم و در اکثر موارد کوتاه‌تر از شعاع‌های آبششی و به ندرت برابر یا بزرگ‌تر از آنها می‌باشد، تعداد خار آبششی ۱۸-۴۷ عدد بوده و دندان‌های ریزی روی فک‌ها مشاهده می‌شود (Berg, 1962; Whitehead, 1985).

* نویسنده مسئول، پست الکترونیک: malavi@modares.ac.ir

عنوان صفات آرایه شناختی در طبقه بندی ماهی‌ها مورد استفاده قرار می‌گیرند، اما این ساختارها همزمان با رشد ماهی و تغییر و سازگاری در عادات غذایی ممکن است تغییر نمایند (Almeida *et al.*, 2013). تعداد و اندازه خار آبششی به عنوان صفات اصلی در آرایه‌شناسی گونه‌های جنس *Alosa* کاربرد داشته اما در ارتباط با تغییرات ریختی این صفت در دوره رشد این گونه در ایران مطالعه‌ای صورت نگرفته است. در این تحقیق تلاش گردید به تغییرات مربوط به ریخت شناسی خارهای آبششی در خلال رشد پرداخته شود تا اعتبار این صفات در آرایه‌شناسی مورد بررسی قرار گیرد.

مواد و روش‌ها

تعداد ۵۰ شگ ماهی دریایی خزری در زمستان ۱۳۹۳ از صیدگاه‌های پره واقع در سواحل فریدون کنار و محمودآباد استان مازندران جمع آوری گردید (شکل ۱-الف). نمونه‌های جمع آوری شده ماهی‌ها به شش گروه طولی شامل ۲۰-۲۵، ۱۵-۲۰، ۲۵-۳۰، ۳۰-۳۵، ۳۵-۴۰، ۴۰-۴۵ تقسیم شدند. با توجه به اینکه توسعه یافته‌ترین و طویل‌ترین خارهای آبششی در کمان اول آبششی قرار دارند، این کمان از سمت چپ ماهی به طور کامل جدا شد و برای زیست سنجی صفات مورد استفاده قرار گرفت (MacNeill and Brandt, 1990). تعداد خار آبششی با استفاده از استریومیکروسکوپ شمارش گردید. برای اندازه‌گیری طول خار و شاعع آبششی از ریزسنج عقرهای (با دقت ۰/۰۰ میلیمتر) استفاده گردید. برای این منظور از قسمت میانی نیمه بزرگتر و پایینی کمان در تمام نمونه استفاده شد (شکل ۱-ب). جهت حذف اثر اندازه، طول خار به طول کل تقسیم شد. قطر پایه خارها در قسمت میانی کمان و با استفاده از استریومیکروسکوپ مجهر به دوربین و نرم افزار Image Tool Ver. 3.00 اندازه‌گیری گردید (شکل ۱-ج)، سپس جهت حذف اثر اندازه، طول خار بر میزان قطر اندازه‌گیری شده تقسیم شد. فاصله بین خارهای آبششی با استفاده از فاصله بین چهار خار مجاور در بخش میانی نیمه بزرگتر و پایینی کمان اندازه‌گیری و سپس با میانگین‌گیری فضای بین هر یک از خارها تخمین زده شد (شکل ۱-د). مساحت ناحیه فیلترکننده برای هر یک از کمان‌ها با استفاده از عکس دوربین دیجیتال اندازه‌گیری شد. به این منظور پس از کالیبره کردن ابعاد روی تصویر با استفاده از مقیاس موجود در عکس، از مساحت‌گیری با ترسیم پلی‌گون^۱ در اطراف ناحیه فیلتر کننده استفاده شد (شکل ۱-ه). تعیین سن ماهی‌ها با استفاده از شمارش حلقه‌های سالیانه بر روی فلس‌ها انجام گرفت (Schneider, 2000). از آزمون آنالیز واریانس یک طرفه (ANOVA) چند دامنه‌ای دانکن^۲ جهت مقایسه تعداد، اندازه و فاصله بین خارهای آبششی، همچنین مقایسه مساحت ناحیه فیلتر کننده در شش گروه مختلف طولی استفاده شد. از آزمون پیرسون جهت بررسی روابط طول کل و سن با صفات مورد بررسی استفاده گردید.

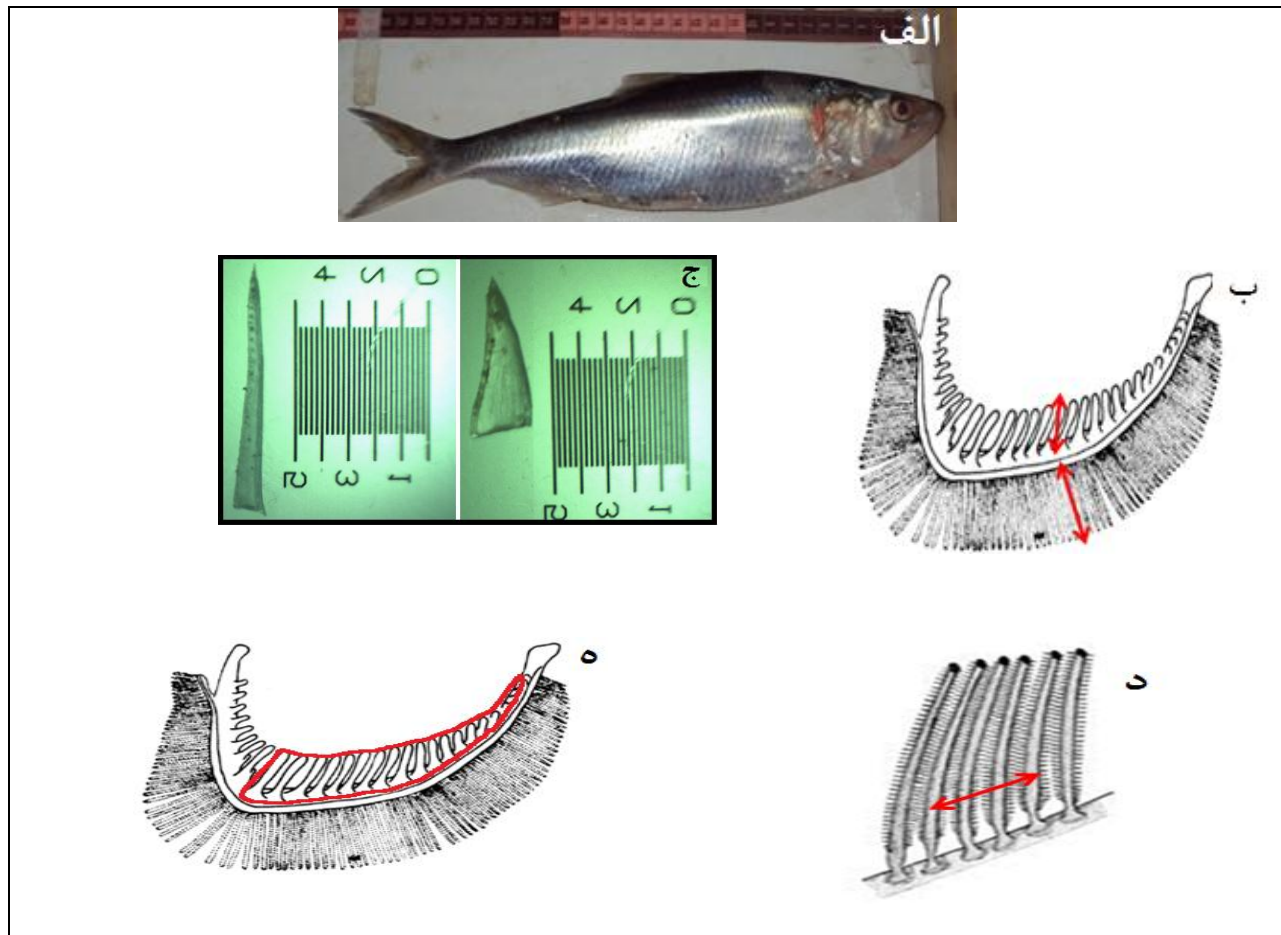
نتایج

طول کل نمونه‌های جمع آوری شده از ۱۸/۹ الی ۴۴/۵ سانتیمتر متغیر بود که در ۵ طبقه سنی قرار داشتند. بزرگترین نمونه‌های مورد بررسی در گروه سنی ۵ و^۱ ۵ سال با میانگین طول ۳۸/۳۵ سانتیمتر قرار داشتند (شکل ۲-الف). تعداد خار آبششی شمارش شده از ۲۳ تا ۴۳ عدد متغیر بود. در گروه ۴۰-۴۵ سانتیمتر، تعداد خارها (۳۲-۴۳) با اختلاف معنی‌داری بیشتر از سایر گروه‌ها بود، اما در سایر گروه‌های طولی اختلاف معنی‌داری مشاهده نشد ($p>0.05$) (شکل ۲-ب). در شکل مربوط به نسبت طول خار به طول کل در گروه‌های مختلف طولی، روند کاهشی مشهودی ($p<0.01$, $R^2=0.818$) با اختلاف معنی‌دار مشاهده شد ($p<0.05$). بیشترین طول خار در گروه طولی ۱۵ الی ۲۰ سانتیمتر بود (شکل ۲-ج). نسبت طول خار به طول شاعع در دو گروه طولی ۱۵-۲۰ و ۲۰-۲۵ بیشتر از ۱ مشاهده شد و اختلاف معنی‌داری را با سایر گروه‌ها نشان داد ($p<0.05$), در حالی که در چهار گروه طولی دیگر این میزان با یک روند کاهشی ($p<0.01$, $R^2=0.514$) حدوداً برابر با یک بود (شکل ۲-د). نسبت طول به قطر خار از ۲/۵ تا

¹ Polygon

² Duncan's Multiple Range Test (MRT)

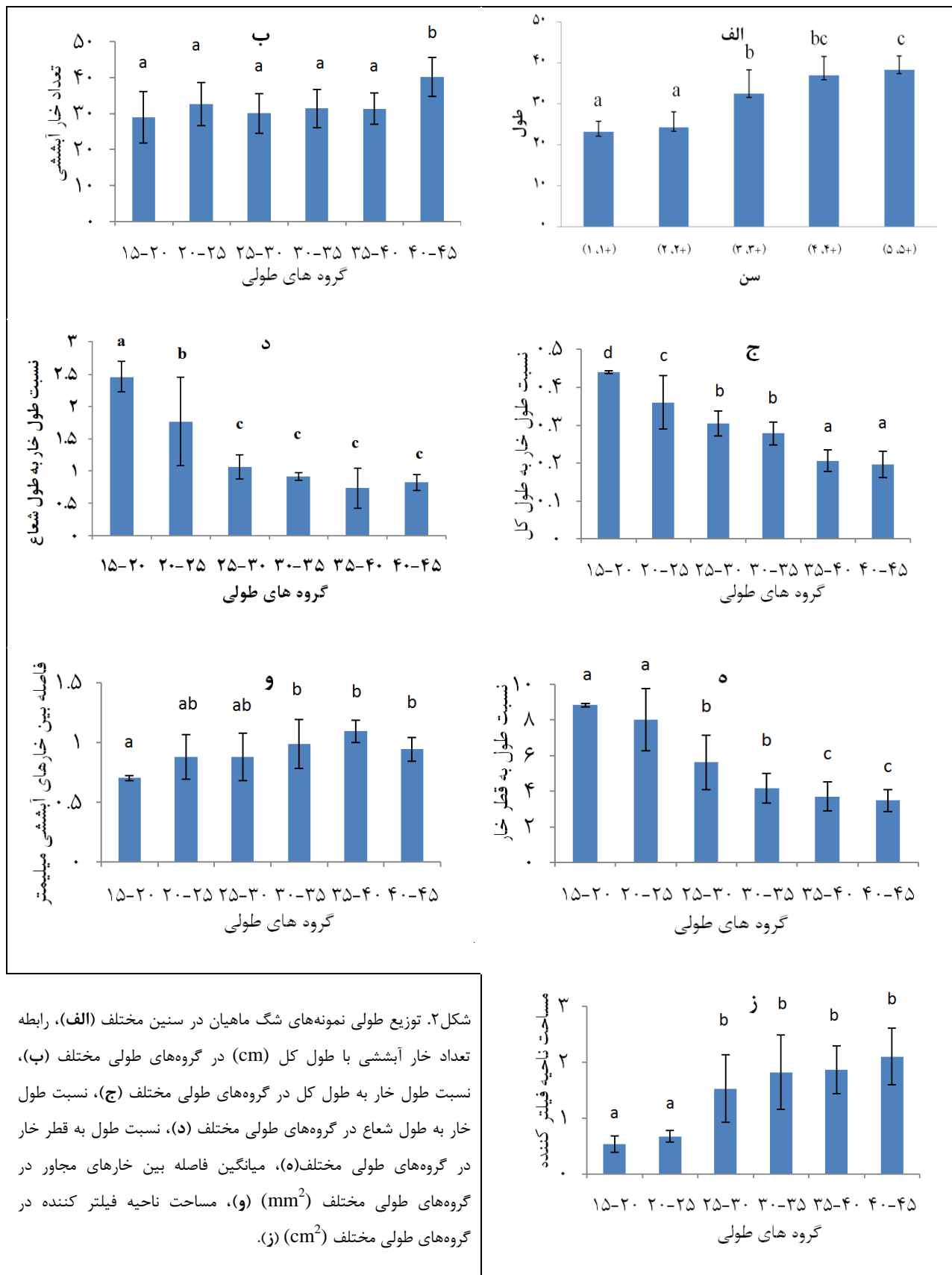
۱۰/۵ متفاوت بود به طوری که خارهای کشیده و نازک در گروههای طولی کمتر و خارهای قطور و کوتاه در گروههای طولی بزرگتر مشاهده شدند. این اختلاف در بین گروهها به طور معنی‌داری مشهود بود (شکل ۲-ه) و با افزایش طول روند افزایشی معنی‌داری را نشان داد ($R^2=0.634$, $p<0.01$) (شکل ۲-ب). میانگین فاصله بین خارهای مجاور در دامنه ۰/۶۴ الی ۱/۳۴ میلیمتر محاسبه شد اما اختلاف معنی‌دار تنها در مقایسه بین گروه ۱۵-۲۰ با گروههای ۳۰-۳۵ و ۴۰-۴۵ مشاهده شد ($p<0.05$) (شکل ۲-و). مساحت ناحیه فیلتر کننده اولین کمان آبششی به طور بارزی با افزایش طول کل ماهی افزایش داشت ($R^2=0.647$, $p<0.01$) (شکل ۲-ز).



شکل ۱. اندازه گیری طول کل ماهی‌ها با استفاده از تخته بیومتری (الف)، محل اندازه گیری طول خار و شعاع آبششی بر روی نیمه بزرگتر و پایینی کمان آبششی (ب)، نمونه تصویر مربوط به ابعاد مورد استفاده جهت اندازه گیری قطر پایه در خارهای آبششی (ج)، نمونه تصویر و ابعاد اندازه گیری شده جهت محاسبه فاصله بین خارهای آبششی (د)، نمونه تصویر و ناحیه اندازه گیری شده جهت محاسبه ناحیه فیلتر کننده (ه).

بحث

در اغلب ماهی‌ها تعداد خار آبششی با افزایش طول افزایش می‌یابد که بر اساس نوع تغذیه دو الگوی مختلف در این ارتباط گزارش شده است؛ الف) در پلانکتون خوارهای انتخابی: تعداد خارها در زمان لاروی تا اندازه و سنی خاص با نرخ زیادی همراه با افزایش طول، افزایش می‌یابد و پس از آن نرخ فوق کاهش یافته و با شیب ملایمی افزایش را نشان خواهد داد. ب) در پلانکتون خوارهای اختصاصی: افزایش مدام تعداد خار همراه با رشد ماهی دیده می‌شود. هرچند نرخ افزایش در دوره لاروی بیشتر است اما در خلال رشد، کاهش چشمگیری در این نرخ همزمان با افزایش طول دیده نمی‌شود (Gibson, 1988).



شکل ۲. توزیع طولی نمونه‌های شگ ماهیان در سنین مختلف (الف)، رابطه تعداد خار آبشی با طول کل (cm) در گروه‌های طولی مختلف (ب)، نسبت طول خار به طول کل در گروه‌های طولی مختلف (ج)، نسبت طول خار به طول شعاع در گروه‌های طولی مختلف (د)، میانگین فاصله بین خارهای مجاور در گروه‌های طولی مختلف (mm^2) (ه)، مساحت ناحیه فیلتر کننده در گروه‌های طولی مختلف (cm^2) (ز).

در این مطالعه، هر چند روند افزایشی تعداد خار همراه با رشد با شبیه ملایم مشاهده شد (شکل ۲-ب)، اما اختلاف موجود معنی دار نبود. لذا با توجه به عدم دسترسی به نمونه های لارو ماهی و همچنین عدم اختلاف معنی دار در تعداد خارها، به نظر می رسد این گونه واحد الگوی تغذیه به شکل پلانکتون خوار انتخابی باشد. محدود گزارشات مرتبط نیز بیانگر تغذیه این گونه، از طیف گسترده ای از جانوران آبزی شامل پاروپایان، حشرات و ماهیان کوچک تا بزرگ می باشد (Abbasi, 2005; Zahmatkesh *et al.*, 2014). هر چند تاکنون به تغذیه این گونه در گروه های طولی مختلف پرداخته نشده است اما پاروپای *Acartia clausi* به عنوان طعمه غالب در معدہ بیش از ۵۰ درصد نمونه های بررسی شده در این ماهی گزارش شده است (Zahmatkesh *et al.*, 2014). به نظر می رسد این طیف گسترده مواد تغذیه شده مرتبط با تغییرات ساختاری خارهای آبشنی باشد. میانگین فاصله بین خارهای آبشنی در کوچکترین گروه طولی مورد بررسی (۱۵-۲۰ سانتیمتر) حدود ۷/۰ میلیمتر و در بزرگترین گروه (۴۰-۴۵ سانتیمتر) حدود یک میلیمتر تخمین زده شد. اندازه نمونه بالغ پاروپای *Acartia clausi* حدود ۱۰۰۰ میکرون معادل یک میلیمتر می باشد (Christou and Verriopoulos, 1993) که با احتساب فواصل مشاهده شده به نظر می رسد قابلیت فیلتر شدن آن از ستون آب همراه با افزایش طول و رشد کاهش یابد. هرچند در این ارتباط وجود دندانک های ریز بر روی هر یک از خارها نیز می باشد مدت قرار گیرد. با توجه به ابعاد، شکل و فواصل بین خارها به نظر می رسد با افزایش طول ماهی، فاصله بین خارها بیشتر شده و رژیم غذایی ماهی از پلانکتون خواری به سمت غیر پلانکتون خواری و گوشتخواری رفته است هر چند تایید نظریه فوق نیازمند مطالعات تکمیلی مرتبط می باشد. مساحت ناحیه فیلتر کننده همراه با افزایش طول افزایش یافت. همانطور که پیش از این اشاره شد طول خارها همراه با افزایش طول کل تا ۱/۳ در مقایسه با گروه های طولی کوچکتر کاهش یافت، اما افزایش مساحت ناحیه فیلتر کننده با توجه به افزایش نسبی تعداد خارها و رشد طولی کمان آبشنی قابل توجیه می باشد.

در کلیدهای شناسایی موجود (Whitehead, 1985; Berg, 1962) در گونه *A. brashnikowi* تعداد خار به طور میانگین ۱۸ تا ۴۷ عدد و اندازه خارها برابر و یا کوتاه تر از طول شعاع های آبشنی گزارش شده است که خارها عموماً کوتاه و ضخیم هستند. در این تحقیق تعداد خارهای نمونه ها با شبیه ملایمی همراه با افزایش طول کل افزایش یافت و در دامنه ۲۳ تا ۴۶ عدد مشاهده شد. در مطالعه Ghotbi-Jokandan و همکاران (۲۰۱۵)، نیز تعداد خارهای آبشنی در این گونه ۲۵-۴۷ عدد گزارش شد. از آنجا که نسبت برابر و کمتر طول خار به طول شعاع تنها در گروه های طولی بیشتر از ۲۵ سانتیمتر مشاهده شد و در اندازه های کوچکتر صادق نبود و همچنین مشاهده خارهای قطور و کوتاه در گروه های طولی بزرگتر (شکل ۱-ه) به نظر می رسد استفاده از این صفات برای شناسایی گونه فوق می باشد با احتیاط صورت گرفته و تنها از نمونه های درشت (حداقل بزرگتر از ۲۵ سانتی متر) برای شناسایی و زیست سنجی استفاده شود. در مجموع با توجه به نتایج به نظر می رسد استفاده از ویژگی های خار آبشنی به عنوان صفت تاکسونومیک می باشد با دقت و مد نظر قرار داشتن اثر اندازه صورت گیرد.

منابع

- Abbasi, K. 2005. Comparative analysis of the diet of *Alosa brashnikowi* study of in southeastern and southwestern coast of the Caspian Sea (Guilan, Mazandaran, Golestan). First congress of Iran's biological science. Tehran University, Karaj. (in Persian).
- Almeida, A.P.G., Behr, E.R., Baldissarro, B. 2013. Gill rakers in six teleost species: influence of feeding habit and body size. Ciencia Rural. 43(12): 2208-2214.
- Berg, L.S. 1962. Freshwater fishes of the USSR and adjacent countries. 4th edition. Israel Program for Scientific Translations Ltd, Jerusalem. 602 p.
- Christou, E.D., Verriopoulos, G.C. 1993. Length, weight and condition factor of *Acartia clausi* (Copepoda) in the eastern Mediterranean. Journal of the Marine Biological Association of the United Kingdom. 73(2): 343-353.

- Ghotbi-Jokandan, S.R., Alavi-Yeganeh, M.S., Jamshidi, S. 2015. Morphological comparison of *Alosa Shad* species using morphometric and meristic characteristics in southern Coast of Caspian Sea. *Taxonomy and Biosystematics*. 7(23): 27-38. (in Persian).
- Ghotbi-Jokandan, S.R., Alavi-Yeganeh, M.S., Jamshidi, S. 2015. Length-weight and length-length relationships of four *Alosa* species along the southern Caspian Sea coast. *Journal of Applied Ichthyology*. 31(4): 814-815.
- Gibson, R.N. 1988. Development, morphometry and particle retention capability of the gill rakers in the herring, *Clupeaharengus*. *Journal of Fish Biology*. 32(6): 949-962.
- MacNeill, D.B., Brandt, S.B. 1990. Ontogenetic shifts in gill-raker morphology and predicted prey capture efficiency of the alewife, *Alosa pseudoharengus*. *Copeia*. 1: 164-171.
- Schneider, J.C. 2000. Manual of Fisheries Survey Methods II: with periodic updates (No. 25). Michigan Department of Natural Resources, Fisheries Division. 144 p.
- Svetovidov, A.N. 1963. Fauna of U.S.S.R Fishes, Vol. II.No.1. Clupeidae, IPST, Jerusalem. pp. 209-232.
- Whitehead, P.J.P. 1985. FAO species catalogue, Vol. 7. Clupeoid fishes of the world: an annotated and illustrated catalogue of the herrings, sardines, pilchards, sprats, shads, anchovies and wolf-herrings. Part 1.FAO Fisheries Synopsis. 125 p.
- Zahmatkesh, M., Shabanipour, N., Zahmatkesh, A., Abbasi, K. 2014. Seasonal changes in diet of *braschnikowi* shad (*Alosa braschnikowi*) from eastern coast of Guilan Province. Second national congress of Iran Fisheries and Aquatic Sciences. Islamic Azad University of Bandarabbas, Bandarabbas. (in Persian).